

V-2 フレッシュモルタルの内部構造に関する一考察

鹿島大学 正会員 荒木 謙一
鹿島大学 正会員 水口 雄之
鹿島大学 学生員 ○柴田 幸範

1. まえがき

最近、フレッシュコンクリートの性質を定量的かつ普遍的に表現する目的で、レオロジー分野からのアプローチがなされつつある。レオロジーには変形と運動という力学的現象を観測しその結果を記述しようとするマクロレオロジーと、現象となる物理的特性と物質の内部構造の立場から解説しようとするとミクロレオロジーがある。本報告は、フレッシュコンクリートの基礎となるフレッシュモルタルの流动機構について、ミクロレオロジー的見地から基礎的な考察を行なつたもので、まずフレッシュペーストの流动機構を考え、さらにそれを基づいてフレッシュモルタルの流动機構について考察した。なお考察にあたっては、セメント粒子および砂粒子は等大の球形と考え、従来の研究結果を参考にしてフレッシュペーストおよびモルタルはビンガム物体に近い挙動を示すものと仮定した。

2. フレッシュペーストの運動

(1) フレッシュペーストの内部構造

セメント粒子は水と接触するとただちに急激な化学反応をおこすが、すぐ反応速度は低下し以後1時間前後はいわゆる休眠時間(dormant period)が種々。この状態を系全体として見ると場合、セメント粒子は均一でメカニカルに連続した網目構造を形成しているが、實際は粒子は離れてみえるといわれている。

フレッシュペーストのこのようないくつか内部構造は、セメント粒子の粒子間力に起因するものであると考えられ、粒子間引力としてはファンデルワールス力、クーロン力、粒子間反発力としては電気的反発力、セメント粒子に吸着した水分子による離反圧力(disjoining pressure)などがあげられる。一般に粒子が粒径MMより小尺寸の場合、クーロン力よりもファンデルワールス力の方が支配的となるといわれていることから、セメント粒子の大さ工正考慮すると粒子間引力はファンデルワールス力によるものと思われる。また粒子間反発力については、電気的反発力の大さ工を決定する主要な因子はフレッシュペーストにおいてはあまり高くないといわれてあり、さらに一般に使用されるフレッシュペーストは高濃度でセメント粒子がひじょうに近接していることから、主として離反圧力によるものと思われる。したがって、フレッシュペーストの内部構造はファンデルワールス力および離反圧力により決定される。つまり外力が作用したときこの二つの抵抗要因になるものと思われる。

(2) フレッシュペーストのレオロジー定数

ファンデルワールス力による分子間のポテンシャルエネルギーは分子間距離の ν 乗に逆比例することから、球形粒子間のファンデルワールス力は W_A と表すことができる。⁽²⁾

$$W_A = -A \left\{ \frac{2a^2}{R^2 - 4a^2} + \frac{2a^2}{R^2} + \ln(1 - \frac{4a^2}{R^2}) \right\} \quad A; 定数, a; 粒子半径 \\ R; 粒子中心間距離 \quad (1)$$

また離反圧力 W_R は粒子間のポテンシャルエネルギー W_A は

$$W_R = B \left(\frac{1 - 2a}{R} + 1 \right)^2 \quad B; 定数 \quad (2)$$

となる。粒子間のポテンシャルエネルギー W_A は W_R と取の代数和であり、また粒子間力 F はポテンシャルエネルギー W を粒子間距離 R で微分してえらばる(図-1参照)。

フレッシュペーストはビンガム物体に近い挙動を示すと仮定すると、外力が作用した場合降伏値 τ_0 では弹性変形を示し、それ以上になると塑性変形を示す。弹性変形をする場合の剛性率 G は図-1(a)の $R=R_0$ における接線の

傾きに比例するものと考えられ、したがつフレオロジー定数である降伏値と塑性指数ペーストがあるひずみが大きくなれば大きくなる。

$$\begin{aligned} \tau_{y1} = & \int -8A \frac{a^4(R_0^6 - 16a^4R_0^4 + 3R_0^4 + 72a^4R_0^2 + 4a^2R_0^3 - 46a^4)}{R_0^4(R_0^4 - 4a^4)^3} \\ & + 1/2B \left(\frac{1-2a}{R_0} + 1 \right) \frac{(1-2a)^2}{R_0^2} \quad a; \text{比例定数} \quad (3) \end{aligned}$$

また、もう一つのレオロジー定数である塑性粘度 η_p については、アイリングの粘性理論に基づいて(4)式で表わされるものとする。

$$\eta_p = \frac{L}{C} \exp\left(\frac{W}{KT}\right) \frac{\pi - \epsilon_f}{\sinh \frac{\pi(\epsilon - \epsilon_f)}{KT}} \quad L; \text{外力}, T; \text{絶対温度} \quad (4)$$

3. フレッシュモルタルの運動

(1) フレッシュモルタルの内部構造

モルタルはセメントペーストに粗骨材を加えたものである。このため、フレッシュモルタルの流動状態においては、粗骨材がフレッシュペーストによる粘性抵抗はフレッシュモルタルの運動に影響を及ぼすものと思われる。また粗骨材粒子はからり接觸状態にあるものと思われ、粒子間接觸による摩擦力も外力が作用して場合の抵抗要因として考えられる。そこで以下二つの抵抗要因について考察する。

(2) フレッシュモルタルのレオロジー定数

粗骨材粒子の摩擦力 f_f については、図-2に示すように外力が作用すると点Aで接觸状態にある粒子が点Bまで接觸滑動するものとして、(5)式をえらぶ。

$$f_f = \frac{\mu f(1 - \sin \theta(\bar{a}))}{\frac{\pi}{2} - \Gamma(\bar{a})} \quad \mu; \text{摩擦係数} \quad (5)$$

$\Gamma(\bar{a})$; 粒子接觸角の分布関数

また運動状態においては、フレッシュペーストの粘性が高まるとからり層と接觸しているものとし、ストークスの法則を適用する。さて、フレッシュモルタルのレオロジー定数は単位面積中の粗骨材粒数 m として(6),(7)式で表わせる。

$$\tau_{y2} = \left(m \int \varphi_m - (\varphi_m - \varphi_s) e^{-\frac{\mu f(1 - \sin \theta(\bar{a}))}{\frac{\pi}{2} - \Gamma(\bar{a})}} \right) f_f \quad \varphi_s, f_o, k; \text{粗骨材粒子の接觸角を表わす比例定数} \quad (6)$$

$$\tau_{y2} = \delta \pi \eta_{p1} V M \quad \delta; \text{粗骨材粒子径} \quad (7)$$

4. あとがき

フレッシュモルタルの内部構造から、レオロジー定数である降伏値および塑性粘度の発生機構について基礎的研究を行なったが、まだ未解明の点が多く、今後、実験によって流動状態の正確な観測により改良を検討し、さらにこれらの実験により実験を定めることができるる程度量化したものと思われる。

<参考文献>

1. Powers, T.C.; *The properties of Fresh Concrete*, John Wiley & Sons Inc., pp.392~436, 1968
2. 鮎島俊郎; Debye分子間力, 培風館, pp.48~50, 1974
3. Tobolsky, A.R. & Eringen, H.E.; *Mechanical properties of Polymeric Materials*, *Jour. of Chem. Phys.*, Vol.11, pp.125~134, 1943
4. 中川錦太郎, 神戸博太郎; レオロジー, 丸善書房, pp.192~198, 1970

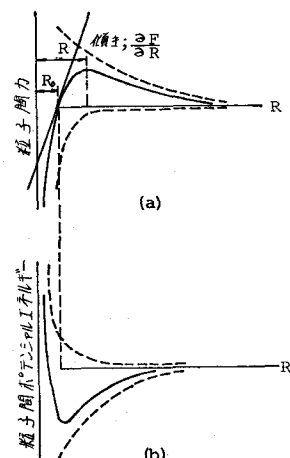


図-1 ポテンシャルエネルギーと力の関係

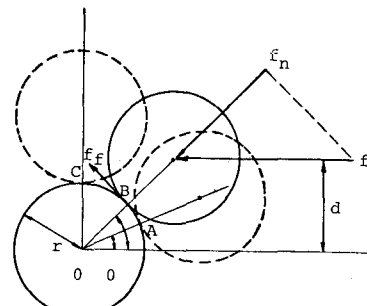


図-2 粗骨材粒子の接觸滑動